

مقایسه‌ی بعد فراکتال و ویژگی‌های ژئومورفولوژیک در مدیریت حوزه آبخیز عقدا

مژده محمدی خشوئی*: پژوهشگر پسادکتری علوم و مهندسی آبخیزداری، دانشکده‌ی منابع طبیعی، دانشگاه یزد، یزد

محمد رضا اختصاصی: استاد دانشکده‌ی منابع طبیعی، دانشگاه یزد، یزد

تاریخ پذیرش: ۱۳۹۸/۴/۱۱

تاریخ دریافت: ۱۳۹۸/۰۲/۱۵

چکیده

هندسه فراکتال، زبان ریاضی است که می‌تواند به صورت ابزاری کمی برای بررسی ژئومورفولوژی حوضه‌ی آبخیز و مدل‌سازی بسیاری از پدیده‌های پیچیده‌ی طبیعی استفاده شود. در حقیقت پدیده‌های ژئوفیزیکی مانند حوضه‌های آبخیز، پدیده‌هایی فراکتالی هستند که الگوی فراکتالی در رفتارهای آنها قابل بررسی است. شناخت عوامل ژئومورفولوژیکی و عملکرد آنها، اهمیت بالایی در مدیریت حوضه دارد. پژوهش حاضر با هدف تحلیل رفتار فراکتالی حوضه‌ی آبخیز عقدا، از طریق محاسبه‌ی ابعاد فراکتال شکل حوضه و شبکه‌ی زهکشی و مقایسه‌ی نتایج به دست آمده با ۱۸ ویژگی ژئومورفولوژیک حوضه‌ی مورد مطالعه انجام شده است. نتایج نشان داد که در بین زیرحوضه‌های مستقل، زیرحوضه‌ی T8 با بعد فراکتال ۱/۴۷ و در میان زیرحوضه‌های تجمعی، زیرحوضه‌ی TO3 با بعد فراکتال ۱/۶ دارای بیشترین بعد فراکتال شبکه‌ی زهکشی هستند و بیشترین بعد فراکتال شکل حوضه را نیز به ترتیب با مقادیر ۱/۰۵ و ۱/۰۸ به خود اختصاص می‌دهند. نتایج حاصل از این بررسی، روابط معنی‌داری بین ابعاد فراکتال شکل حوضه و شبکه‌ی زهکشی با ویژگی‌های ژئومورفولوژیک نشان می‌دهد. بالاترین ضریب همبستگی متعلق به روابط رگرسیونی بین مجموع طول آبراهه ۰/۹۸، مساحت ۰/۹۷ و مساحت فراسایش‌پذیر حوضه ۰/۹۵ با بعد فراکتال شبکه‌ی زهکشی است و بعد فراکتال شکل حوضه نیز بالاترین همبستگی را با تعداد آبراهه ۰/۸۲، مجموع طول آبراهه ۰/۷۸ و مساحت ۰/۷ نشان می‌دهد (در سطح ۰/۹۹). در ادامه با بررسی ویژگی‌های ژئومورفولوژیک و مقایسه‌ی آن با بعد فرکتال شکل حوضه و شبکه‌ی زهکشی منطقه، وضعیت فراسایشی منطقه‌ی مورد مطالعه مشخص شد. با توجه به نتایج مشخص شد که واحدهای مستقل مربوط به واحدهای T8، T1 و T6 و در واحد ترکیبی، TO3 دارای بیشترین فراسایش‌پذیری هستند. این نتایج می‌تواند در برنامه‌های کنترل رسوب و آبخیزداری استفاده شود و راهکارهای لازم را برای مدیریت منطقه ارائه دهد. در واقع، پژوهش حاضر نشان داد که تحلیل ابعاد فراکتال می‌تواند به بررسی سریع و دقیقی از ویژگی‌های ژئومورفولوژیکی حوضه و شبکه‌ی زهکشی منجر شود.

واژگان کلیدی: بعد فراکتال، پارامتر ژئومورفولوژیک، روش شمارش جعبه، مدیریت حوضه‌ی آبخیز.

۱- مقدمه

بسیاری از پدیده‌های طبیعی، متغیرهای فراوانی دارند که برقراری روابط بین آنها با استفاده از روش‌های معمول ریاضی مشکل است. این مسئله در کنار عدم امکان اندازه‌گیری تمام اجزای طبیعت، به شکل‌گیری تحولی بزرگ در شیوه‌ی درک و تبیین پدیده‌ها منجر شده است. در این شیوه از طریق هندسه‌ی فراکتال با این تئوری که خیلی

از پدیده‌های جهان طبیعت در عین بی‌نظمی دارای نظم هستند، می‌توان هر جزء از طبیعت را به صورت یک عدد کمی هندسه فراکتال در آورد. هندسه فرکتال^۱ (Mandelbrot, 1967 & 1983)، مبحث جدیدی است که در طول دوهزاری اخیر محققان را بر آن داشته تا با مطالعه‌ی روابط موجود بین پدیده‌ها به شاخص‌هایی دست یابند که بتواند دبر مبنای آن، به تبیین خصوصیات بیشتری از حوضه، شبکه‌زهکشی و خصوصیات ژئومورفولوژیکی حوضه‌آبخیز پیردازند. امروزه ریاضیات، ابزاری قدرتمند برای توصیف فرآیندها و پیچیدگی‌های موجود در طبیعت است که در اختیار طبیعی‌دانان قرار دارد تا بتوانند آنها را در قالب ریاضی و روابط کمی درآورند. واژه‌ی فرکتال توسط Mandelbrot در سال ۱۹۶۷ برای توصیف اشیای هندسی پیچیده که درجه‌ی بالایی از خود تشابهی دارند، ابداع شد. یک فرکتال، شکل هندسی است که می‌تواند به بخش‌هایی تقسیم شود که هر کدام از آنها یک کپی تعدیل یافته از لحاظ اندازه از کل است. روش شمارش جعبه‌ای^۲، معروف‌ترین روش محاسبه‌ی بعد فرکتال است؛ چرا که از این روش می‌توان برای محاسبه‌ی بعد فرکتالی تمامی عناصر، ابعاد و اشکال مختلف استفاده کرد و سرعت محاسبات آن بیش از سایر روش‌ها است. علاوه بر این، الگوریتم آن از قابلیت استخراج نتایجی با اطمینان بالا برخوردار است. استفاده از تجزیه و تحلیل فرکتال برای توصیف کمی ویژگی‌های ژئومورفولوژیکی در دهه‌های اخیر افزایش یافته است (Mandelbrot, 1983 & Ben-Zion and Sammis, 2003 & Gloaguen et al, 2007 & Shahzad et al, 2010 & Khanbabaei et al, 2013 & Ibanez et al, 2014). به طور کلی، می‌توان ادعا کرد که گسترش تحقیقات ژئومورفولوژی در زمینه‌ی فرکتال به کشف و شناسایی ابعاد جدیدی از توانایی هندسه‌ی فرکتال در مدل‌سازی اشکال ژئومورفولوژیکی منجر خواهد شد. در ژئومورفولوژی رودخانه‌ای، بررسی کاملی از دیدگاه هندسه‌ی فرکتالی برای مدل‌سازی شبکه رودخانه‌ای صورت گرفته است. این تحلیل‌ها بر اساس قوانین هورتون – که با استفاده از نسبت انشعاب و طول رودخانه و قوانین طول و مساحت حوضه که فرکتال خودمتشابه را در الگوی رودخانه‌ها نشان می‌دهد – صورت گرفته است (Gloaguen et al, 2007 & 2008).

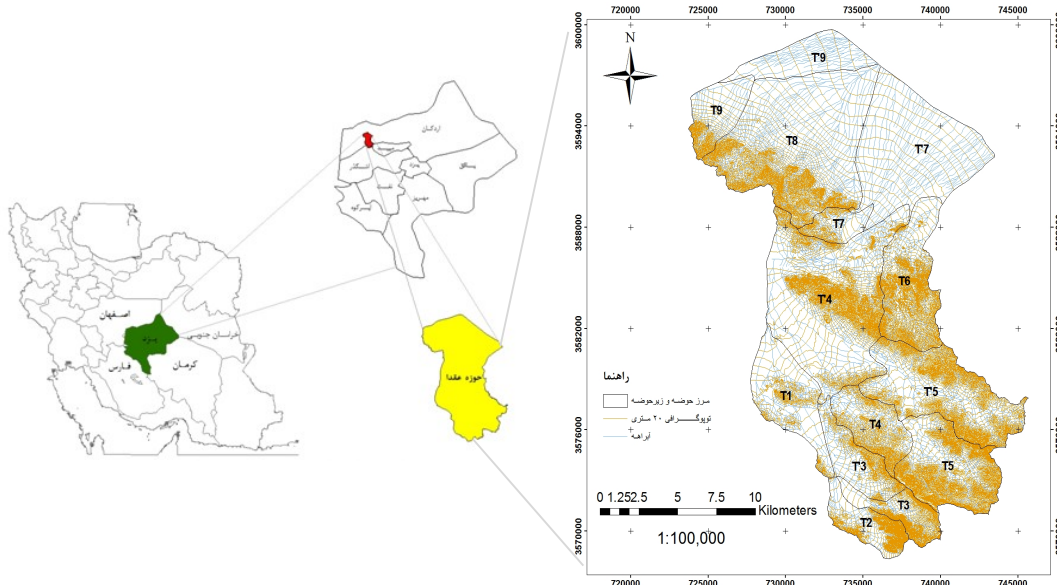
روابط بین ابعاد فرکتال با خصوصیات مورفومتری حوضه‌های آبریز دامنه‌ای شمال بینالود نشان داد که بین بعد فرکتال نسبت انشعاب با مساحت حوضه‌های مورد مطالعه، رابطه‌ای معکوس و منفی وجود دارد. علاوه بر این، بیشترین ضریب همبستگی مربوط به بعد فرکتال انشعاب رودخانه‌ای و شکل حوضه نیز حاصل شد (خسروی و همکاران، ۲۰۱۷). در مطالعه‌ای با بررسی ساختار فرکتالی سیستم هیدروگرافی کاشوبیان در شمال لهستان، بعد فرکتال در هفت حوضه از ۳۰ زیر حوضه‌ی هیدروگرافی منطقی مورد مطالعه به دو روش فرکتال زمین‌ریختی و شمارش جعبه‌ای حاصل شد. نتایج نشان داد که شبکه هیدروگرافی کاشوبیان هنوز در مرحله‌ی سازماندهی قرار داشته و بیشترین مرحله‌ی بلوغ شبکه هیدروگرافی، در دامنه‌های جنوبی با ابعاد فرکتال ۱/۹۷-۱/۷۹ قابل مشاهده است (Fac-Beneda, 2013). بررسی رابطه بین ابعاد فرکتال شبکه زهکشی و برخی از ویژگی‌های ژئومورفولوژی این شبکه نشان داد که بین بعد فرکتال و عواملی مانند شکل، مساحت، نسبت انشعاب و نسبت طول در حوضه‌ها رابطه‌ی معنی‌داری وجود دارد (Khanbabaei et al, 2013). علاوه بر این، با افزایش بعد فرکتالی یک الگوی آبراهه‌ای از مرتبه‌ی $X+1$ ، تعداد یا طول آبراهه‌ها از مرتبه‌ی $X+1$ افزایش می‌یابد (Kusák, 2014)، و اینکه بعد فرکتالی بالا معرف تراکم زهکشی بیشتر و زمان کمتر

¹ Fractal² Box- counting Method

برای رسیدن به جریان دائمی است و هر چه بعد فراکتالی بیشتر باشد، دبی اوج هیدروگراف خروجی نیز به همان نسبت بیشتر خواهد بود (علمی‌زاده و همکاران، ۲۰۱۳). شبکه‌های رودخانه‌ای به عنوان پدیده‌ی ژئوفیزیکی، یکی از بارزترین الگوهای فراکتالی در طبیعت است. تعداد انشعابات یک رودخانه از مرتبه‌های گوناگون، همچنین سطح و طول این انشعابات از رابطه‌ی توانی و فراکتالی پیروی می‌کنند. از این روابط می‌توان برای بررسی تغییر انشعابات رودخانه‌ها و بررسی شرایط حوضه در گذر زمان بهره جست (محمدی، ۲۰۱۶). شکل هندسی رودخانه (منحنی رودخانه) می‌تواند به عنوان یک خم چندفراکتال مدنظر قرار گیرد و از این دیدگاه، تئوری ریاضی چند فراکتال نیز می‌تواند به عنوان ابزاری مناسب برای پیش‌بینی شکل هندسی آتی رودخانه‌های پر پیچ و خم به خدمت گرفته شود (نیکویی و همکاران، ۲۰۰۸). کاربرد هندسه فراکتال در زمینه‌ی ضریب فشرده‌گی حوضه آبریز و ترسیم هیدروگراف حوضه به این شکل است که هر چه ضریب فشرده‌گی به $1/5$ نزدیک‌تر باشد، حوضه دایره‌ای‌تر و هیدروگراف‌ها از تطابق بیشتری برخوردار است. در واقع، کاربرد فراکتال در ترسیم هیدروگراف نتایج بهتری به همراه دارد؛ این در حالی است که اگر عدد ضریب فشرده‌گی از $1/5$ فاصله بگیرد، تطابق در هیدروگراف کمتر می‌شود (فتاحی و طالب‌زاده، ۲۰۱۷). مطالعه و بررسی بر روی لندفرم‌های یخچالی در هیمالیا با استفاده از تحلیل چندفراکتالی نشان داد که این لندفرم‌ها نسبت به لندفرم‌های رودخانه‌ای، ساختار پیچیده‌تری دارند و تحلیل چندفراکتالی می‌تواند لندفرم‌های به وجود آمده توسط فرآیندهای مختلف را تفکیک کند (Dutta et al, 2014). بررسی ارتباط بعد فراکتال با میزان حساسیت هر سازند نشان داد که با افزایش حساسیت سنگ‌شناسی و به تبع آن تراکم زهکشی، عدد فراکتال افزایش می‌یابد (علیمرادی، ۲۰۱۸). ارتباط بین خصوصیات فراکتالی شبکه‌زهکشی و مراحل تکاملی فرسایش در حوضه‌ی رودخانه زرد چین نشان داد که مقادیر فراکتالی شبکه‌زهکشی با مقادیر تحویل رسواب و رواناب حوضه، رابطه‌ای مثبت و خطی دارد. همچنین مقادیر بعد فراکتال کمتر از $1/0.6$ ، بیانگر مرحله‌ی فرسایشی جوان در حوضه است و مقادیر بعد فراکتال بیش از $1/0.6$ ، مرحله‌ی بلوغ یا پیری حوضه را مشخص می‌کند (Hui and Changxing, 2017). در حقیقت پدیده‌های ژئوفیزیکی مانند حوضه‌های آبخیز، پدیده‌هایی فراکتالی هستند که الگوی فراکتالی در رفتارهای آن‌ها قابل بررسی است. همچنین شناخت عوامل ژئومورفولوژیکی و عملکرد آنها در حوضه‌آبخیز، اهمیت بالایی در مدیریت حوضه‌های آبخیز دارد. پژوهش حاضر با هدف تحلیل رفتار فراکتالی حوضه‌آبخیز عقد، از طریق محاسبه‌ی ابعاد فراکتال شکل حوضه، شبکه‌زهکشی و مقایسه‌ی نتایج به دست آمده با ویژگی‌های ژئومورفولوژیکی حوضه مورد مطالعه انجام شده است.

۲- منطقه‌ی مورد مطالعه

حوضه‌آبخیز عقد، بین عرض‌های ۱۴° تا ۳۱° ۹۲° تا ۳۲° عرض شمالی و طول شرقی ۵۳° تا ۵۷° ۵۳° واقع شده است. مساحت و محیط کل حوضه به ترتیب $۳۶۹/۶۳$ کیلومترمربع و $۱۰۵/۲۶$ کیلومتر است. حوضه مورد مطالعه در استان یزد، شهرستان اردکان و در سمت جنوب‌غربی آن قرار گرفته است (شکل ۱). متوسط بارش سالانه در حوضه عقدا $۱۰۵/۳۲$ میلی‌متر است که دی‌ماه با بیش از ۲۰ درصد بارندگی سالیانه، پر باران‌ترین ماه سال به شمار می‌رود. روند تغییر ارتفاع در حوضه، از جنوب‌شرق به شمال‌شرق و قسمت‌های شمالی (خروجی حوضه) است.



شکل ۱: موقعیت حوضه‌آبخیز عقدا در استان یزد و زیرحوضه‌های آن

حداکثر ارتفاع حوضه، ۲۸۲۱ متر است که در ارتفاعات جنوب حوضه مشاهده می‌شود و حداقل ارتفاع آن، نزدیک به ۱۱۹۵ متر در قسمت‌های شمالی حوضه است. اقلیم حوضه مورد مطالعه به روش دومارتن اصلاح شده، خشک سرد است. شکل شبکه‌زهکشی در حوضه عقدا شاخه درختی و شیب متوسط وزنی ۲۹/۷۴ درصد به دست آمد. کهن‌ترین سنگ‌های رخنمون یافته در این حوضه‌آبخیز به سری دزو تعلق دارد و شامل کریستال‌های توف شیشه‌ای و گدازه‌های ریولیتی، ماسه‌سنگ، شیل، دولومیت و سنگ آهک تیره رنگ معروف به آهک عقدا است که از نظر سنی به کامبرین زیرین تعلق دارد. نهشته‌های پالئوزوئیک میانی تا بالایی شامل ماسه‌سنگ‌های کوارتزیتی و شیل‌های سیلتی، ماسه‌سنگی و آهکی سازندهای زاگون و لالون و سنگ آهک هم ارز سازند میلا و ماسه‌سنگ‌های تیره و سنگ آهک متعلق به کربونیفر است. نهشته‌های دوران مژوزوئیک شامل سنگ آهک، ماسه‌سنگ و سنگ آهک هم ارز سازند ناییند، مارن و ماسه‌سنگ و سنگ آهک ژوراسیک و ماسه‌سنگ و سنگ آهک متعلق به کرتاسه است. نهشته‌های ترسیر در این منطقه در برگیرنده‌ی گدازه‌ها و توف‌های داسیتی تیره رنگ ائوسن، توده‌های گرانیتی و نهشته‌های آواری کم ژرف‌ها و سنگ‌های آتشفسانی متعلق به میوسن است. همچنین آبرفت‌های کواترنری را در بخش‌های نسبتاً بلند منطقه می‌توان مشاهده کرد و نهشته‌های تبخیری و رسی را در بخش‌های ژرف‌تر.

۳- مواد و روش

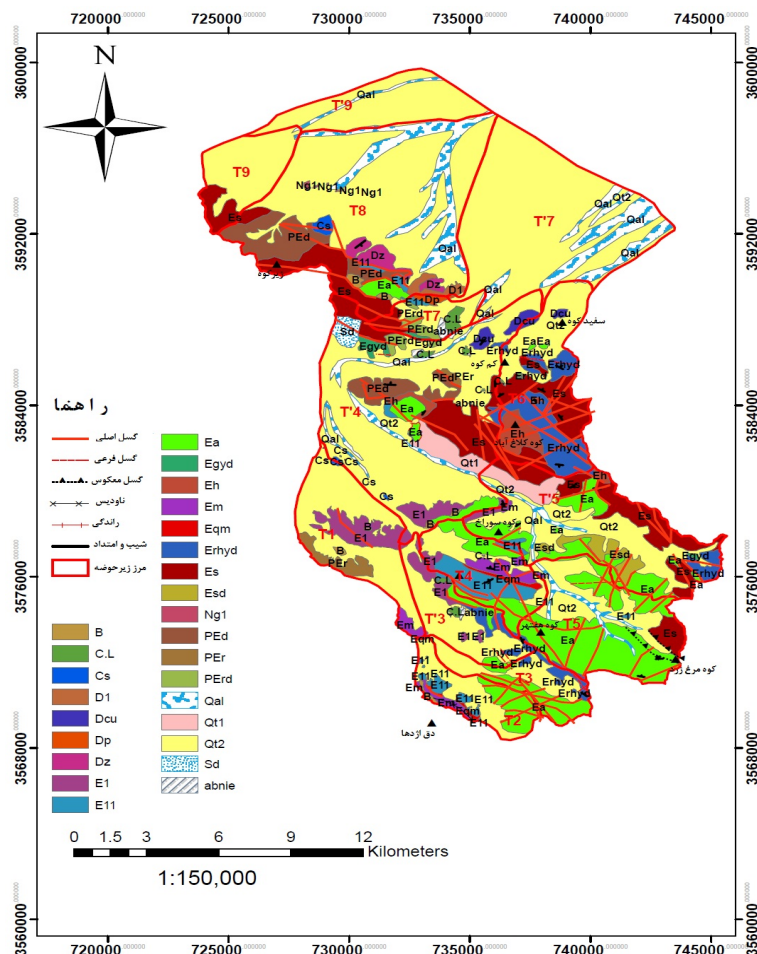
پژوهش حاضر از سه بخش اصلی تشکیل شده است:

۱- تهیه نقشه‌ی زمین‌شناسی و توپوگرافی حوضه‌عقدا و محاسبه ویژگی‌های ژئومورفولوژیک

در این بخش، نقشه‌ی زمین‌شناسی ۱:۱۰۰۰۰۰ حوضه عقدا از سازمان زمین‌شناسی و اکتشافات معدنی کشور تهیه شد. سپس سازندهای زمین‌شناسی حوضه مورد مطالعه، استخراج و میزان فرسایش‌پذیری سازندهای زمین‌شناسی در شرایط

اقلیمی خشک سرد بررسی شد؛ به همین منظور، از روش پسیاک برای برآورد وضعیت فرسایش و تولید رسواب در هر

سازند استفاده شد (میرعلوی، ۲۰۰۹).



شکل ۲: نقشه‌ی زمین‌شناسی حوضه آبخیز عقدا

در ادامه، با استفاده از نقشه‌های توپوگرافی رقومی با مقیاس ۱/۵۰۰۰۰ سازمان نقشه‌برداری کشور به تعداد ۵ شیت، لایه‌های مورد نیاز از قبیل حوضه و زیرحوضه‌های عقدا و شبکه‌زهکشی آن حاصل شد. به منظور بررسی دقیق‌تر، این حوضه‌ی به ۹ زیرحوضه‌ی هیدرولوژیک (مستقل)، ۵ زیرحوضه‌ی غیرهیدرولوژیک (غیرمستقل) و ۴ زیرحوضه‌ی ترکیبی تقسیم شد (جدول ۱). برای حوضه‌ی مطالعه نیز سه خروجی مستقل TO3، T8 و TO4 در نظر گرفته شد.

جدول ۱: مساحت حوضه و زیرحوضه‌های عقدا

مساحت (ha)	زیر حوضه‌ها		
۲۰۹۶/۲۸	T1		
۱۰۶۷/۹۶	T2		
۹۸۶/۳۹	T3	TO1	
۱۳۱۶/۵۸	T'3		
۱۴۴۳/۶۰	T4		
۶۳۵۵/۲۰	T'4		
۲۷۲۵/۰۷	T5		
۳۶۴۰/۹۰	T'5		
۲۵۵۷/۸۷	T6		
۶۶۶/۰۷	T7		
۴۷۱۰/۳۲	T'7		
۵۶۹۴/۵۱		T8	
۱۲۰۱/۴۴	T9		
۱۵۰۰/۸۶	T'9	TO4	
۳۶۹۶۳/۰۳		جمع کل	

جدول ۲: سازندهای زمین‌شناسی حوضه آبخیز عقدا

ردیف	دوران	دوره	دور	سازند	نماد	لیتو‌لوژی	مساحت (ha)
۱	سنوزوئیک	کواترنری	پلیستوسن	Cultivated	-	نهشته‌های آبرفتی جدید	۱۳۳/۶۴
۲				abnie	-	نهشته‌های آبرفتی جدید	۶۶/۴۰
۳				Qt2	-	پادگان‌های آبرفتی جوان	۲۰۰۴۳/۲۸
۴				Qt1	-	پادگان‌های قدیمی	۵۱۹/۷۸
۵				Qal	-	رسوبات جوان بستر رودخانه‌ها	۲۴۷۶/۶۰
۶				Qsd	-	رسوبات جوان ماسه‌بادی	۱۳۲/۶۰
۷		ترشیاری	نئوژن	Ng1	-	ماسه‌سنگ و مارن ماسه‌ای	۱۴/۴۷
۸	پالئوزوئیک	پرمین - کربونیفر		Cs	-	شیل و ماسه‌سنگ	۸۲/۸۴
۹		کربونیفر - دونین	پیشین	DC ^u	-	سنگ آهک دوباره تبلور یافته	۱۶۸/۶۳
۱۰				D _z	زیرکوه	سنگ آهک زیرکوه	۲۵۷/۳۸
۱۱				D _l	شیستو	سنگ آهک، مارن، شیل	۱۱۰/۱۱
۱۲				D _p	پادها	کوارتزیت، دولومیت	۴۷/۹۴
۱۳		کامبرین	میانی	E _m	٪	سنگ آهک، دولومیت، خاکستری تا	۳۴۸/۵۲
۱۴				E _m ^q	٪	ماسه‌سنگ کوارتزین سفید	۹۰/۶۷
۱۵	کامبرین		لalon	E _l ^l	لalon	ماسه‌سنگ و شیل قرمز	۶۶۷/۷۱
۱۶		زیرین		E _l	-	کامبرین پایینی تفكیک نشده	۸۵۹/۸۳
۱۷				E _a	عقدا	سنگ آهک عقدا	۴۰۱۷/۲۸
۱۸				E _d ^s	سری	ماسه‌سنگ کوارتز آرناتیتی تا	۲۶۱/۰۳
۱۹				E _h	ذرو	شیل‌های تیره تا خاکستری	۳۶۴/۸۹
۲۰				E _d ^{hy}		مجموعه‌های از گدازه‌های تراکیتی	۱۲۳۹/۱۷
۲۱				B	-	سنگ درونی بازیک	۱۰۶/۰۴
۲۲	پر کامبرین			E _d ^{gy}	-	سنگ گچ	۱۰۵/۷۷
۲۳		کامبرین - وندین	سلطانیه	E _s		دولومیت با باندهای چرت	۳۴۲۵/۷۷
۲۴		وندین	درین	PE _d		دولومیت، شیل، ماسه سنگ	۱۰۲۳/۰۸
۲۵			بالایی	PE _{rd}	٪	توف رویولیتی، دولومیت	۱۷۳/۶۴
۲۶			٪	PE _r	٪	رویولیت	۲۲۵/۹۷
				کل حوضه		۳۶۹۶۳/۰۳	

در پژوهش حاضر، تعداد ۱۸ پارامتر ژئومورفولوژی شامل مساحت، مجموع طول آبراهه، تراکم زهکشی، نسبت انشعاب، نسبت طولی آبراهه، زمان تمرکز، طول آبراهه‌ی اصلی، ضریب فرم، فشردگی، گردی و کشیدگی، شب،

ارتفاع، طول حوضه، فراوانی آبراهه، تعداد آبراهه، فرسایش‌پذیری واحدهای زمین‌شناسی و مساحت فرسایش‌پذیر این واحدها محاسبه و بررسی شد (جدول ۳).

جدول ۳: شاخص‌های ژئومورفولوژیک حوضه‌ی عقدا

منابع	شاخص	نحوه محاسبه	ویژگی ژئومورفولوژیک
Horton, 1932	Dd	$Dd = \sum Li/A$	تراکم زهکشی، Li طول آبراهه‌ها، A مساحت حوضه
Schumms, 1956	RB	$RB = \sum Ni/N_{i+1}$	RB نسبت انشعاب، Ni تعداد آبراهه رتبه i
Horton, 1945	RI	$RI = \sum Li/L_{i+1}$	RI نسبت طولی آبراهه، Li طول آبراهه رتبه i
Wang, 2005	TC	$TC = \frac{L}{1.5D} \left(\frac{A^2}{F} \right)^{0.5}$	TC زمان تمرکز به روش برانسپی-ویلیامز، L طول آبراهه اصلی، F شب آبراهه اصلی، D قطر دایره معادل هم سطح با حوضه
Sharma and Tiwari, 2009	FF	$FF = A/L_w$	FF ضریب فرم، طول حوضه Lw
Schumm, 1956	CC	$CC = 0.282P/\sqrt{A}$	CC ضریب فشردگی، P محیط حوضه
Miller, 1953	RC	$RC = 12.566A/P^2$	RC ضریب گردی
Schumm, 1956	E	$E = 2\sqrt{\frac{A}{\pi}}/L_w$	E ضریب کشیدگی
Horton, 1932	S	$= H_{max} - H_{min}/\sqrt{A}$	شب
Horton, 1932	\bar{H}	$\bar{H} = \frac{1}{n} \sum_i H_i A_i / A$	\bar{H} ارتفاع متوسط وزنی حوضه، A_i مساحت بین دو خط تراز، H_i متوسط ارتفاع بین دو خط تراز
Horton, 1932	Fs	$Fs = \sum N/A$	Fs فراوانی آبراهه، N تعداد کل آبراهه‌های هر بخش مشتمل بر همه رتبه‌ها

۳-۲- بعد فرآکتال

مرحله‌ی دوم پژوهش، محاسبه‌ی بعد فرآکتال شبکه‌زهکشی و حوضه‌ی عقدا به روش شمارش جعبه است. روش شمارش جعبه‌ای معروف ترین روش محاسبه‌ی بعد فرآکتال است؛ چرا که از این روش می‌توان برای محاسبه‌ی بعد فرآکتالی تمامی عناصر، ابعاد و اشکال مختلف استفاده کرد و سرعت محاسبات آن بیش از سایر روش‌ها است. علاوه بر این، الگوریتم آن از قابلیت استخراج نتایجی با اطمینان بالا برخوردار است (علمی‌زاده و همکاران، ۲۰۱۳). در این روش، شبکه‌ای از خانه‌های مربع شکل بر تصویر مورد نظر قرار داده می‌شود. اندازه‌ی شبکه با (۴) مشخص می‌شود که معیاری از مقیاس است. تعداد مربع‌هایی که هر قسمت از منحنی مورد نظر را پوشش می‌دهد، محاسبه می‌شود. این کار برای مربع‌های با اضلاع مختلف نیز تکرار می‌شود (به صورت مجازی ضخامت خطوط شبکه صفر در نظر گرفته می‌شود). حد نهایی این قسمت، زمانی است که ۶ به صفر میل می‌کند. شمارش و حاصل این شمارش $N\epsilon$ تعداد مربع‌ها خواهد بود.

$$D = \lim_{\epsilon \rightarrow 0} \frac{\log(N\epsilon)}{\log(1/\epsilon)} \quad \text{رابطه‌ی (۱)}$$

مرحله‌ی بعد، ترسیم مقادیر $\log(N\epsilon)$ در مقابل $\log(1/\epsilon)$ است. شب خط مستقیم که اطلاعات را به بهترین وجه به نمایش می‌گذارد، تقریباً برابر با بعد فرآکتال است؛ بنابراین برای محاسبه‌ی بعد فرآکتال، لازم است نمودار غیرخطی آن

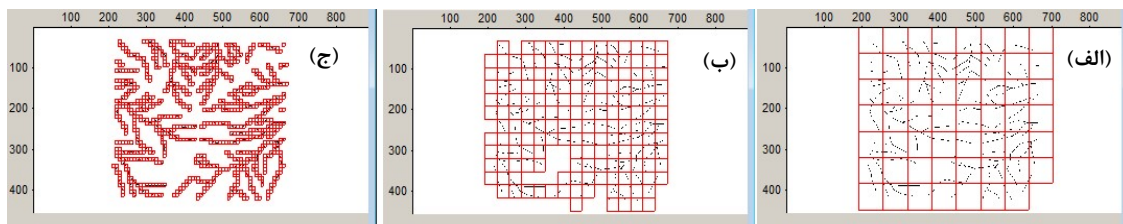
ترسیم شود. در این نمودار، محور X ها اندازه‌ی شبکه و محور Y ها بیانگر نقاط موجود در هر مربع است. سپس این نمودار، با منحنی نظریه‌ی فراکتال برآش داده می‌شود تا همبستگی میان دو نمودار حاصل شود. طی این کار، همبستگی بین تعداد و اندازه‌ی شبکه نشان داده می‌شود.

$$N = \varepsilon D + c \quad (2)$$

در این رابطه، D بعد فرکtal یا همان همبستگی بعد و c ضریب ثابت است. نرم‌افزار Fractalyse از جمله نرم‌افزارهایی است که با آن می‌توان بعد فرکtal را به روش شمارش جعبه‌ای و سایر روش‌ها محاسبه کرد.

۳-۳- تحلیل همبستگی

در بخش پایانی پژوهش، ضریب همبستگی بین مقادیر بعد فرکtal حوضه و شبکه‌زهکشی با ویژگی‌های ژئومورفولوژیکی حوضه محاسبه شد و مقایسه بین این عوامل در هر یک از زیرحوضه‌های حوضه عقدا صورت گرفت.



شکل ۳: نحوه محاسبه بعد فرکtal شبکه‌زهکشی بر روی سازند کهر با تغییر مقیاس،

(الف) اندازه جمعه ۸، (ب) اندازه جمعه ۱۶ و (ج) اندازه جمعه ۱

۴- یافته‌ها (نتایج)

۱- ویژگی‌های ژئومورفولوژیک

به منظور استخراج ۱۸ پارامتر ژئومورفولوژیک، ابتدا محدوده‌ی حوضه عقدا و زیرحوضه‌های آن تعیین و پارامترهای مساحت A، طول حوضه L_w ، ضریب فرم F.F، ضریب گردی RC، ضریب فشرده‌گی CC و ضریب کشیدگی E محاسبه شد. سپس با استفاده از نقشه‌های توپوگرافی، پارامترهایی نظیر ارتفاع H و شیب S به دست آمد. در نهایت، نقشه‌ی شبکه‌زهکشی حوضه استخراج شد و رتبه‌بندی به روش استرالر صورت گرفت. با استفاده از نقشه‌ی شبکه‌زهکشی استخراجی، پارامترهای طول آبراهه اصلی L، مجموع طول آبراهه $\sum L$ ، تراکم زهکشی Dd، نسبت انشواب RB، نسبت طولی رودخانه RI، زمان تمرکز TC، تعداد آبراهه Ni و فراوانی آبراهه FS برآورد شد (جدول ۴). تمام محاسبات مربوط به برآورد پارامترهای ژئومورفولوژیک در محیط ArcGIS 10.3 انجام شده است. بر اساس نتایج به دست آمده از بررسی پارامترهای ژئومورفولوژیک حوضه مورد مطالعه، بیشترین مساحت مربوط به زیرحوضه T8 و TO3 است. مساحت حوضه‌آبخیز، مهم‌ترین پارامتر فیزیکی حوضه است که دبی حداکثر و شکل حوضه به آن بستگی دارد. طول حوضه عبارت است از طول خطی که نقطه خروجی حوضه را با خطی مستقیم به دورترین نقطه‌ی مرکز حوضه وصل می‌کند. بیشترین طول حوضه در زیرحوضه T8 و TO3 و کمترین مقدار در

زیرحوضه‌ی T7 دیده می‌شود. شیب حوضه در زیرحوضه‌های حوضه‌ی عقدا، بین ۸ تا ۵۰ درصد متغیر است و کمترین آن در زیرحوضه‌ی T1 و TO4 و بیشترین مقدار شیب در زیرحوضه‌ی T5 مشاهده می‌شود. ارتفاع زیرحوضه‌های مورد مطالعه از ۱۳۱۷/۱ تا ۲۱۷۶/۴ متفاوت است.

جدول ۴: پارامترهای ژئومورفولوژیک حوضه‌آبخیز عقدا

sub	A	$\sum L$	$\sum N$	Dd	RB	RI	TC	L	FF	CC	RC	E	S	H	Lw	Fs
T1	۲۱	۱۰۶/۱	۲۷۱	۵/۱	۳/۸	۲	۴/۷	۱۲/۳	.۰/۲	۱/۵	.۰/۵	.۰/۵	۱۳/۴	۱۵۳۸/۷	۱۰/۱	۱۲/۹
T2	۱۰/۷	۶۹/۸	۱۹۲	۶/۵	۵/۷	۲/۱	۲/۷	۷/۴	.۰/۳	۱/۴	.۰/۵	.۰/۶	۲۷/۶	۱۹۷۴/۳	۶/۴	۱۸
T3	۹/۹	۶۶/۸	۱۷۶	۶/۸	۵/۳	۳/۱	۲/۷	۷/۹	.۰/۲	۱/۷	.۰/۴	.۰/۵	۳۷/۱	۲۱۳۰	۷/۷	۱۷/۸
T4	۱۴/۴	۱۲۱	۳۷۲	۸/۴	۴/۳	۲/۳	۳/۳	۹/۷	.۰/۴	۱/۳	.۰/۶	.۰/۷	۳۵/۸	۱۸۳۶/۵	۶	۲۵/۸
T5	۲۷/۳	۲۰۴/۴	۶۰۶	۷/۵	۳	۲/۶	۲/۶	۸/۵	.۰/۴	۱/۳	.۰/۶	.۰/۸	۴۹/۹	۲۱۷۶/۴	۷/۹	۲۲/۲
T6	۲۵/۶	۲۰۳/۷	۵۷۱	۸	۳/۴	۶/۵	۴/۳	۱۳	.۰/۳	۱/۴	.۰/۵	.۰/۶	۳۳/۴	۱۵۶۶/۶	۹	۲۲/۳
T7	۶/۷	۵۰/۴	۱۲۶	۷/۶	۳/۲	۲/۴	۲/۱	۵/۶	.۰/۳	۱/۳	.۰/۶	.۰/۶	۲۱/۵	۱۴۳۵/۲	۵/۲	۱۸/۹
T8	۶۷	۴۷۲/۷	۸۱۲	۷/۱	۳/۷	۴/۴	۴/۷	۱۴/۳	.۰/۴	۱/۳	.۰/۶	.۰/۷	۱۷/۳	۱۳۷۴/۸	۱۲/۹	۱۲/۱
T9	۱۲	۷۹/۷	۱۳۰	۶/۶	۵	۲/۳	۲/۴	۶/۶	.۰/۳	۱/۲	.۰/۷	.۰/۶	۱۷/۲	۱۴۰۱/۲	۶/۱	۱۰/۸
TO1	۳۳/۷	۲۳۰/۸	۵۹۰	۶/۹	۵/۴	۲/۳	۴/۳	۱۳/۲	.۰/۳	۱/۵	.۰/۵	.۰/۶	۳۱/۱	۱۹۸۸	۱۱/۲	۱۷/۵
TO2	۱۹۶/۳	۱۲۹۴/۳	۳۲۷۱	۶/۶	۴	۲/۷	۹/۹	۳۲/۷	.۰/۴	۱/۶	.۰/۴	.۰/۷	۲۲/۸	۱۸۲۱/۷	۲۲/۸	۱۶/۷
TO3	۲۵۷/۷	۱۷۶۴/۸	۴۰۶۹	۶/۴	۳/۵	۲/۲	۱۱/۶	۳۹/۲	.۰/۳	۱/۶	.۰/۴	.۰/۶	۲۵	۱۶۹۳/۳	۲۹/۲	۱۴/۸
TO4	۲۷	۱۷۲/۸	۲۱۳	۶/۴	۳/۸	۲/۴	۵/۱	۱۳/۳	.۰/۲	۱/۸	.۰/۵	.۰/۳	۸/۲	۱۳۱۷/۱	۱۲/۲	۷/۹

برای بیان شکل حوضه و مقایسه بین حوضه‌های آبخیز مختلف از شاخص‌های مانند ضریب فرم حوضه، گردی، کشیدگی و فشردگی استفاده شد. ضرایب شکل معمولاً بین صفر تا یک متغیر است؛ هر چه ضرایب شکل به یک نزدیک‌تر باشد، حوضه گرددتر است و هر چه به صفر متمایل شود، حوضه کشیده‌تر. هر چه حوضه گرددتر باشد، زمان تمرکز در آن کمتر و در نتیجه شدت رواناب حاصل شده بیشتر خواهد بود. با توجه به نتایج به دست آمده، زیرحوضه‌های T3 و TO4 بیشترین کشیدگی را دارند و سایر زیرحوضه‌ها نسبتاً کشیده هستند. زمان تمرکز، مدت زمانی است که آب لازم دارد تا از دورترین نقطه‌ی حوضه به نقطه‌ی خروجی آن برسد. مقدار زمان تمرکز، به طول آبراهه‌ی اصلی و شرایط هیدرولیکی مسیر جریان مانند ضریب زبری و شعاع هیدرولیکی بستگی دارد. روابط زیادی برای محاسبه‌ی زمان تمرکز ارائه شده که بیشتر آنها بر اساس دو عامل طول آبراهه‌ی اصلی و شیب است. با توجه به شکل حوضه در بررسی‌های انجام شده، از زمان تمرکز برآنبی ویلیامز استفاده شد. زمان تمرکز در حوضه عقدا از ۲/۱ تا ۱۱/۵۹ متفاوت است؛ به طوری که بیشترین مقدار زمان تمرکز در زیرحوضه T8 و TO3 و کمترین زمان تمرکز در زیرحوضه T7 به دست آمد. طول آبراهه، یکی از ویژگی‌های ژئومورفولوژیکی حوضه‌آبخیز محاسبه می‌شود. بیشترین طول آبراهه اصلی، تعداد آبراهه و مجموع طول آبراهه مربوط به زیرحوضه T8 و TO3 و کمترین آن متعلق به زیرحوضه T7 است. افزایش تعداد آبراهه و طول آن در حوضه‌آبخیز، بیانگر افزایش فرسایش است. مقادیر فراوانی آبراهه FS، ارتباط بین آبراهه‌ها و وضعیت زمین‌شناسی منطقه را نشان می‌دهد. مقدار فراوانی آبراهه در حوضه عقدا، از ۷/۹ تا ۲۵/۸ متفاوت دارد. طول و تعداد آبراهه‌ها با رتبه‌های متفاوت در جدول ۵ نشان داده شده است.

جدول ۵: تعداد و طول رتبه‌های مختلف آبراهه در حوضه آبخیز عقدا

واحد هیدرولوژیک	مشخصات	درجه آبراهه						
		۱	۲	۳	۴	۵	۶	۷
T1	تعداد	۱۹۸	۵۲	۱۶	۴	۱	۰	۰
	طول (km)	۵۴/۵۳	۲۵/۴	۱۰/۳۱	۱۱/۳۳	۴/۵۶	۰	۰
T2	تعداد	۱۴۲	۲۷	۲۱	۲	۰	۰	۰
	طول (km)	۳۹/۸۹	۱۵/۹۵	۹/۶	۴/۴	۰	۰	۰
T3	تعداد	۱۳۵	۳۳	۷	۱	۰	۰	۰
	طول (km)	۴۴/۶	۱۳/۰۵	۲/۳۱	۶/۸۲	۰	۰	۰
T4	تعداد	۲۷۸	۶۳	۲۴	۶	۱	۰	۰
	طول (km)	۷۵/۷۲	۲۳/۰۴	۱۳/۸۱	۴/۰۲	۴/۴۴	۰	۰
T5	تعداد	۴۵۱	۱۱۳	۲۸	۸	۳	۳	۰
	طول (km)	۱۳۲/۰۸	۳۵/۳۱	۲۲/۴۹	۹/۱۶	۳/۸۷	۱/۴۴	۰
T6	تعداد	۴۲۵	۱۰۹	۲۶	۷	۳	۱	۰
	طول (km)	۱۲۶/۲۳	۳۳/۹۴	۲۰/۵۹	۹/۵۴	۱۲/۶۲	۰/۵۲	۰
T7	تعداد	۹۴	۲۳	۶	۲	۱	۰	۰
	طول (km)	۳۱/۱۹	۱۱/۱۲	۲/۷۹	۳/۴۹	۱/۸۴	۰	۰
T8	تعداد	۶۲۷	۱۳۵	۳۷	۹	۳	۱	۰
	طول (km)	۲۸۳/۳۵	۷۰/۹	۵۷/۱۸	۳۸/۷۲	۲۰/۹۹	۱/۵۴	۰
T9	تعداد	۹۷	۲۴	۸	۱	۰	۰	۰
	طول (km)	۴۹/۳۷	۱۳/۸۹	۱۱/۲۴	۵/۱۵	۰	۰	۰
TO1	تعداد	۴۳۶	۱۰۰	۴۲	۱۱	۱	۰	۰
	طول (km)	۱۳۳/۵۷	۵۲/۷۱	۲۲/۶۸	۱۶/۵۵	۵/۲۸	۰	۰
TO2	تعداد	۲۴۳۰	۵۹۱	۱۸۱	۴۸	۱۳	۷	۱
	طول (km)	۷۷۱/۳۶	۲۵۴/۸	۱۳۰/۴۷	۷۴/۷۵	۲۵/۵۸	۳۱/۵	۵/۷۸
TO3	تعداد	۳۰۲۲	۷۳۹	۲۲۱	۵۸	۱۸	۹	۲
	طول (km)	۱۰۷۰/۸۵	۳۴۰/۷۶	۱۶۷/۱۸	۹۰/۱۴	۴۷/۱۴	۳۶/۴۸	۱۲/۲۶
TO4	تعداد	۱۶۲	۳۸	۱۰	۳	۰	۰	۰
	طول (km)	۱۱۶/۱۳	۳۱/۷۴	۱۳/۰۷	۱۱/۸۱	۰	۰	۰
Total	تعداد	۳۸۱۱	۹۱۲	۲۶۸	۷۰	۲۱	۱۰	۲
	طول (km)	۱۴۷۰/۳۳	۴۴۳/۴	۲۳۷/۴۳	۱۴۰/۵۷	۶۸/۱۳	۳۸/۰۲	۱۲/۲۶

با توجه به نتایج مشخص می‌شود که آبراهه‌های رتبه اول نسبت به سایر رتبه‌ها، در مجموع طول بیشتری از حوضه را در بر می‌گیرند. رتبه‌ی ۷ آخرین رتبه آبراهه‌ی مشاهده شده در منطقه‌ی مورد مطالعه است (زیرحوضه‌های ترکیبی

TO2 و TO3) از زیرحوضه‌های منطقه‌ی عقدا، تعداد ۳ زیرحوضه تا رتبه ۶ را دارا هستند (T5، T6، T8)، ۴ زیرحوضه تا رتبه‌ی ۵ (T1، T7، TO1، T4) و در زیرحوضه‌های T2، T3، T9 و زیرحوضه ترکیبی TO4، آخرین رتبه آبراهه، ۴ مشاهده می‌شود. این نتایج به دست آمده می‌تواند از تعییرات شیب، توپوگرافی و زمین‌شناسی منطقه سرچشممه گرفته باشد. میزان نسبت انشعاب برای RB در منطقه‌ی مورد مطالعه، بین $۳/۰۴$ تا $۵/۶۸$ به دست آمد که نسبت آن در هر رتبه از آبراهه نسبت به رتبه‌ی بعدی بیشتر است. درباره‌ی وضعیت پارامتر نسبت طولی آبراهه RI، بیشترین کمترین مقدار آن به ترتیب $۵/۱۶$ و ۲ در زیرحوضه‌های T6 و T1 است. از تراکم زهکشی به عنوان شاخصی برای بیان وضعیت آبراهه‌ها حوضه، بارندگی، رواناب، ظرفیت نفوذپذیری، تکامل توپوگرافی و فرسایش حوضه استفاده می‌شود. اعداد بالای تراکم زهکشی، مقاومت ضعیف و نفوذپذیری خوب حوضه را نشان می‌دهد و در مقابل، مقدار کم تراکم بیانگر مقاومت به فرسایش و نفوذپذیری خوب حوضه آبخیز است (محمدی، ۲۰۱۶ & Shi et al, 2014). مقدادیر تراکم زهکشی در حوضه عقدا بین $۵/۰۶$ تا $۸/۳۸$ متغیر است. ویژگی‌های سنگ‌شناسی در حوضه‌های آبخیز، از عوامل کنترل‌کننده‌ی فرسایش به شمار می‌رود. با تعیین مقاومت سنگ‌ها و سازندها می‌توان منطقه‌های مختلف را از نظر حساسیت به فرسایش به گونه‌ای مناسب طبقه‌بندی کرد. به منظور برآورد پتانسیل فرسایش‌پذیری واحدهای زمین‌شناسی حوضه‌ی عقدا به روش پسیاک، ابتدا سازندهای زمین‌شناسی حوضه مورد مطالعه از نقشه‌های زمین‌شناسی ۱:۱۰۰۰۰ استخراج شد که این نقشه با بازدیدهای میدانی و استفاده از تصاویر ماهواره‌ای Google earth، به صورت دقیق‌تر و واقعی‌تر تهیه شد (جدول ۲). در حوضه مورد مطالعه، بخش‌های مرتفع حوضه بیشتر منطبق بر آهک عقدا، دولومیت سلطانیه، همچنین ماسه‌سنگ سازند لالون و برخی واحدهای آذرین است که با توجه به این نوع سازندها، فرسایش‌های متنوع با شدت‌های مختلف در حوضه قابل مشاهده می‌باشد. با توجه به امتیازدهی روش پسیاک، مقدادیر فرسایش‌پذیری واحدها در زیرحوضه‌های حوضه عقدا حاصل شد (جدول ۶).

جدول ۶: اولویت‌بندی حوضه و زیرحوضه‌های عقدا از نظر حساسیت واحدهای زمین‌شناسی به فرسایش

اولویت‌بندی	فرسایش‌پذیری واحدها	مساحت (Km^2)	نمره پسیاک	زیرحوضه‌ها
۲	۱۵۶/۳	۲۰/۹۶	۷/۵	T1
۷	۶۵/۲	۱۰/۶۸	۶/۱	T2
۸	۵۴/۸	۹/۸۶	۵/۶	T3
۶	۸۳/۵	۱۴/۴۴	۵/۸	T4
۴	۱۲۱/۵	۲۷/۲۵	۴/۵	T5
۳	۱۴۵/۱۱	۲۵/۵۸	۵/۷	T6
۹	۴۹/۵	۶/۶۶	۷/۴	T7
۱	۵۲۶/۹	۶۶/۹۵	۷/۹	T8
۵	۹۷/۶۲	۱۲/۰۱	۸/۱	T9
۴	۲۱۳/۳	۳۳/۷۱	۶/۳	TO1
۲	۱۲۵۶/۵	۱۹۶/۳۲	۶/۴	TO2
۱	۱۸۹۲/۸۱	۲۷۵/۶۶	۶/۹	TO3
۳	۲۳۳/۷	۲۷/۰۲	۸/۶	TO4

مقدار عددی پسیاک به دست آمده در حوضه عقدا، از $۴/۵$ در زیرحوضه T5 تا $۸/۶$ در حوضه ترکیبی TO4 متفاوت است. با در نظر گرفتن مساحت هر زیرحوضه، مساحت فرسایش‌پذیر در حوضه مورد مطالعه برآورد شد.

بیشترین میزان فرسایش در واحدهای مستقل مربوط به واحدهای T8 و T6 و در واحدهای ترکیبی مربوط به زیر حوضه‌ی TO3 است. بالا بودن پارامترهای ژئومورفولوژیکی مانند مساحت، طول حوضه، تعداد و طول آبراهه‌ها و نمره فرسایش‌پذیری پسیاک، گویای بالا بودن میزان فرسایش در این زیرحوضه‌ها است. در واقع، این زیرحوضه‌ها اولویت بالاتری دارند و نسبت به سایر زیرحوضه‌ها، نیازمند مدیریت بیشتر هستند.

۴-۲- بعد فرآکتال شبکه‌زهکشی و شکل حوضه

هنده فرآکتال با چهارچوبی متمایز از هندسه اقلیدسی و با مدلی برگرفته از طبیعت با استفاده از توابع تکرارپذیر و دور پذیر، برای توجیه روندهای طبیعی از جمله حوضه‌آبخیز به کار گرفته می‌شود. با توجه به ویژگی‌های ژئومورفولوژیکی و توپوگرافی منطقه، حوضه‌ها خواص فرآکتالی از خود نشان می‌دهند که این خواص در خصوصیات آنها کدگذاری شده‌است. بعد فرآکتال حوضه و شبکه‌زهکشی، با روش شمارش جعبه در حوضه‌آبخیز عقداً محاسبه شد. نتایج نشان داد که در بین زیرحوضه‌های مستقل، زیرحوضه‌ی T8 با بعد فرآکتال ۱/۴۷ و در میان زیرحوضه‌های تجمعی، زیرحوضه‌ی TO3 با بعد فرآکتال ۱/۶ دارای بیشترین بعد فرآکتال شبکه‌زهکشی هستند و بیشترین بعد فرآکتال شکل حوضه را نیز به ترتیب با مقادیر ۱/۰۵ و ۱/۰۸ به خود اختصاص می‌دهند.

جدول ۷: مقادیر بعد فرآکتال شبکه‌زهکشی و حوضه در حوضه عقدا

زیرحوضه	T1	T2	T3	T4	T5	T6	T7	T8	T9	TO1	TO2	TO3	TO4
بعد فرآکتال													
بعد فرآکتال شبکه‌زهکشی													
بعد فرآکتال													
شکل حوضه													

دلیل بالا بودن میزان بعد فرآکتال در زیرحوضه‌های T8 و TO3، فرسایش‌پذیری بالای این دو زیرحوضه و بالاترین مقادیر طول آبراهه اصلی، مجموع طول و تعداد آبراهه، مساحت و طول حوضه در این زیرحوضه‌ها است که به تشکیل شبکه‌آبراهه‌ی متراکم با شاخه‌های متعدد منجر شده‌است. در مقابل، کمترین مقدار بعد فرآکتال در زیرحوضه‌های T7 مشاهده می‌شود. مقدار پایین بعد فرآکتال در این زیرحوضه، از مقاومت به فرسایش و پایین بودن مقادیر ویژگی‌های ژئومورفولوژیکی چون مجموع طول آبراهه، تعداد آبراهه، مساحت، طول حوضه نسبت به سایر زیرحوضه‌های حوضه عقداً سرچشمه می‌گیرد. با اولویت‌بندی مقادیر بعد فرآکتال و مقایسه‌ی آن با اولویت‌های به دست آمده از مقادیر مساحت فرسایش‌پذیر منطقه‌ی عقداً، بیشترین بعد فرآکتال به دو زیرحوضه‌ی T8 و TO3 بازمی‌گردد و مقادیر بعد فرآکتال شبکه‌زهکشی با اولویت‌بندی تمام زیرحوضه‌ها منطبق است به جز سه زیرحوضه‌ی T4، T5 و T1. فقدان انطباق زیرحوضه‌های مورد نظر را نیز می‌توان با تأثیر عامل زمین‌شناسی بر بعد فرآکتال شبکه‌زهکشی توضیح داد؛ در زیرحوضه‌های T4 و T5 برخلاف سایر زیرحوضه‌ها، سهم سازنده‌های زمین‌شناسی دوران پالئوزوئیک (سازند لالون و سنگ آهک عقداً) نسبت به دوران سنوزوئیک (رسوبات آبرفتی عهد حاضر) بیشتر است؛ به همین دلیل شبکه‌آبراهه‌ی به وجود آمده نسبت به سایر زیرحوضه‌ها – که بخش عمده‌ی آنها در رسوبات آبرفتی عهد حاضر

قرار دارد – ناهمگن است و این ناهمگنی به خوبی در مقادیر بعد فرآکتال مشاهده می‌شود. فقدان انطباق مقدار بعد فرآکتال با اولویت‌بندی زیرحوضه در زیرحوضه T1 را نیز می‌توان به اثر متقابل پارامترهای ژئومورفولوژیکی چون شکل حوضه، زمان تمرکز و شیب نسبت داد. با توجه به اثر متقابل این عوامل و بازدیدهای میدانی، زیرحوضه T1 از نظر مدیریتی و اقدامات آبخیزداری در رتبه دوم از نظر وضعیت فرسایشی قرار دارد؛ بنابراین، مقادیر بعد فرآکتال شبکه‌زهکشی و حوضه به ترتیب با احتمال ۷۰ و ۳۰ درصد می‌تواند برآورد سریع و دقیقی را از وضعیت فرسایشی منطقه ارائه دهد.

۴-۳- نتایج تحلیل همبستگی

در ادامه، ماتریس همبستگی پارامترهای ژئومورفولوژیکی حوضه عقدا به دست آمد که در آن، ارتباط بین پارامترها و بعد فرآکتال شبکه‌زهکشی و حوضه بررسی شد. با توجه به این ماتریس به ترتیب پارامترهای مجموع طول آبراهه (۰/۹۸)، مساحت (۰/۹۷)، مساحت فرسایش‌پذیر حوضه (۰/۹۵)، مجموع تعداد آبراهه (۰/۹۴)، طول آبراهه اصلی (۰/۹)، طول حوضه (۰/۸۸) و زمان تمرکز (۰/۸۶) با بعد فرآکتال شبکه‌زهکشی در سطح اعتماد ۰/۹۹ همبستگی دارد که تأثیرپذیری بعد فرآکتال را از این ویژگی‌های ژئومورفولوژیکی منطقه نشان می‌دهد.

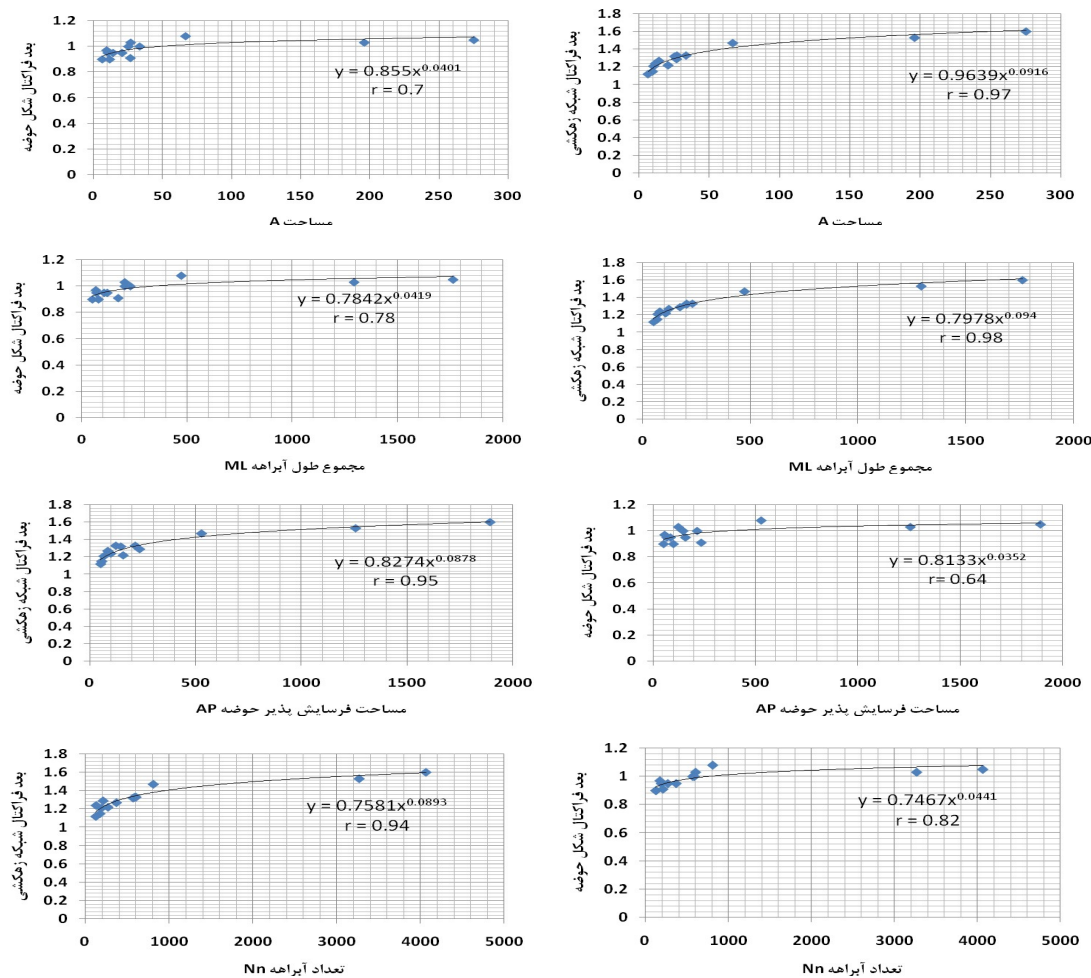
جدول ۸: مقادیر ماتریس همبستگی بعد فراکتال و پارامترهای ژئومورفولوژیک حوضه‌ی عقدا

	A	$\sum L$	TC	LS	FF	CC	RC	E	S	H	LW	FS	P	AP	NN	NL	DS	DW
A	1	0/99	0/99	0/9	0/3	0/3	-0/4	0/3	-0/5	0/1	0/99	-0/2	0/1	0/99	0/99	0/99	0/9	0/7
$\sum L$		1	0/99	0/99	0/3	0/3	-0/4	0/3	-0/5	0/1	0/99	-0/1	0/0	0/99	0/99	0/99	0/9	0/8
TC			1	0/99	0/2	0/5	-0/5	0/2	-0/6	-0/1	0/99	-0/2	0/1	0/99	0/99	0/99	0/9	0/6
LS				1	0/2	0/4	-0/5	0/2	-0/6	0/0	0/99	-0/2	0/1	0/99	0/99	0/99	0/9	0/6
FF					1	-0/6	0/6	0/99	-0/1	0/1	0/2	0/4	-0/4	0/3	0/3	0/3	0/5	0/6
CC						1	-0/1	-0/6	0/0	0/1	0/5	-0/3	0/1	0/4	0/3	0/3	0/2	0/1
RC							1	0/6	0/1	-0/2	-0/5	0/2	0/0	-0/4	-0/4	-0/4	0/2	-0/1
E								1	-0/2	0/1	0/2	0/4	-0/3	0/3	0/3	0/3	0/5	0/6
S									1	0/6	-0/6	0/6	-0/6	-0/6	-0/5	-0/6	0/6	-0/3
H										1	-0/1	0/6	-0/9	-0/1	-0/1	0/1	0/1	0/3
LW											1	-0/3	0/1	0/99	0/99	0/99	0/9	0/6
FS												1	-0/9	-0/2	0/0	-0/1	0/2	0/2
P													1	0/1	0/1	0/0	0/1	-0/4
AP														1	0/99	0/99	0/9	0/8
NN															1	0/99	0/9	0/6
NL																1	0/9	0/6
DS																	1	0/8
DW																		1

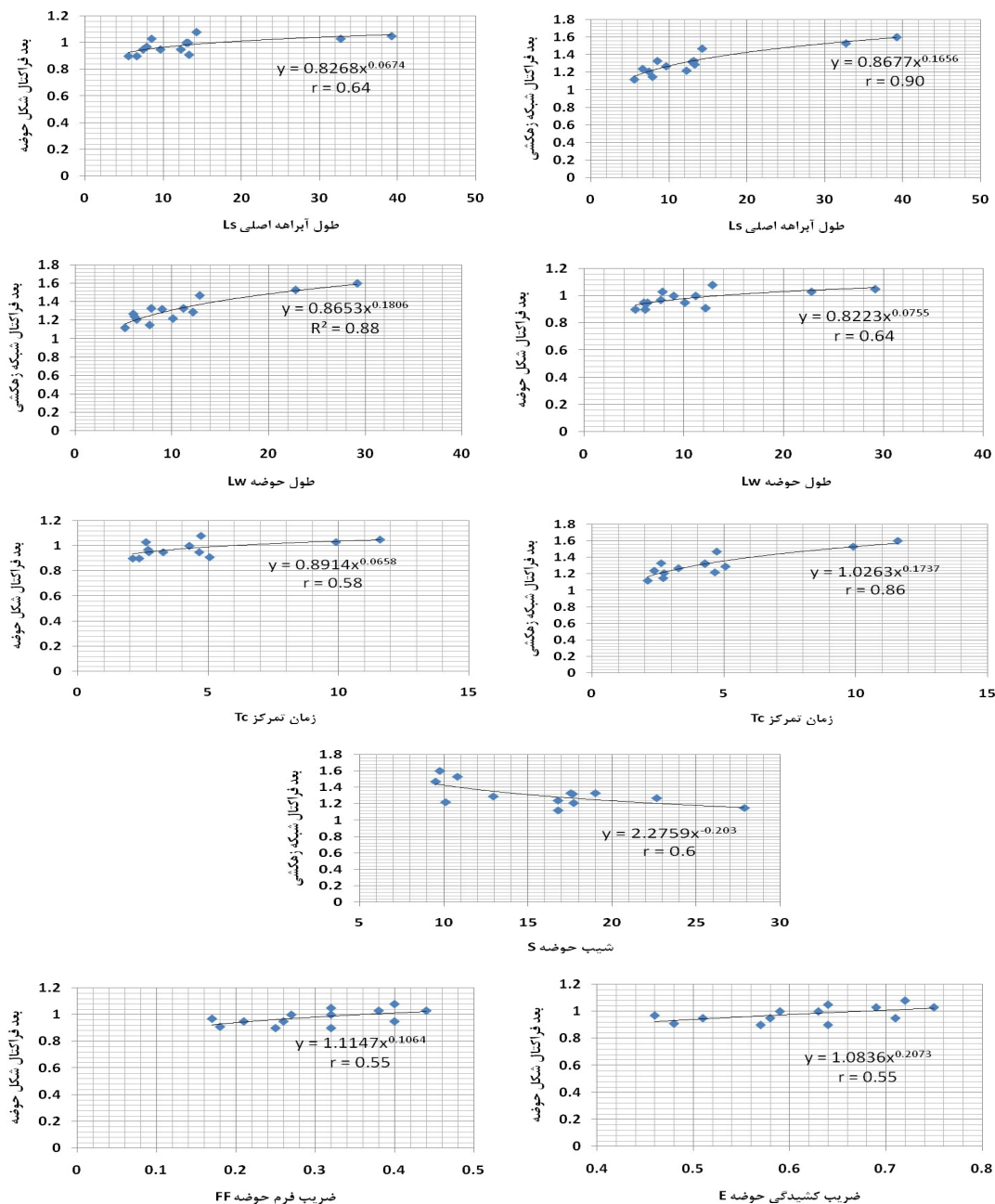
اعداد بولدشده، مقادیر همبستگی در سطح اعتماد ۰/۹۹ است و اعداد زیر خط دار، مقادیر همبستگی در سطح اعتماد ۰/۹۵

تنها پارامتر شیب حوضه با بعد فراکتال شبکه‌زهکشی، همبستگی منفی با مقدار ۰/۶ در سطح اعتماد ۰/۹۵ دارد؛ این امر به این معنی است که مقادیر کم شیب در حوضه‌ی عقدا دارای مقادیر بالای بعد فراکتال است. همین روابط درباره‌ی بعد فراکتال شکل حوضه نیز برقرار است؛ با این تفاوت که ضرایب همبستگی مقادیر کمتری دارد و به جز سه پارامتر مجموع طول آبراهه، مساحت و مساحت فرسایش‌پذیر حوضه، ضرایب همبستگی در سطح اعتماد ۰/۹۵ حاصل شد و به همچنین همبستگی بین بعد فراکتال شبکه‌زهکشی و شکل حوضه در سطح اعتماد ۰/۹۹، به مقدار ۰/۸ برآورد شد. با دانستن رابطه‌ی دقیق بین ویژگی‌های ژئومورفولوژیک حوضه‌آبخیز با بعد فراکتال شبکه‌زهکشی، می‌توان سایر ویژگی‌های حوضه را با در اختیار داشتن بعد فراکتال پیش‌بینی کرد. نتایج حاصل از این بررسی، روابط معنی‌داری را بین ابعاد فراکتال شبکه‌زهکشی و شکل حوضه با ویژگی‌های ژئومورفولوژیک نشان می‌دهد (شکل ۴). بالاترین ضریب همبستگی متعلق به روابط رگرسیونی بین مجموع طول آبراهه، مساحت فرسایش‌پذیر و مساحت حوضه با بعد فراکتال شبکه‌زهکشی است و بعد فراکتال شکل حوضه بالاترین همبستگی را با تعداد آبراهه، مجموع طول آبراهه و مساحت

نشان داد (در سطح ۰/۹۹). با توجه به نتایج به دست آمده می‌توان چنین استنباط کرد که بعد فرآکتال شبکه‌زهکشی نسبت به بعد فرآکتال شکل حوضه، توانایی بیشتری در پیش‌بینی پارامترهای ژئومورفولوژیک حوضه‌آبخیز دارد.



شکل ۴: روابط رگرسیونی بین بعد فرآکتال شبکه‌زهکشی و حوضه با پارامترهای ژئومورفولوژیک



شکل ۴: روابط رگرسیونی بین بعد فرکتال شبکه زهکشی و حوضه با پارامترهای ژئومورفولوژیک

۵- بحث و نتیجه‌گیری

مدیریت جامع و صحیح حوضه‌های آبخیز و اولویت‌بندی آنها برای عملیات آبخیزداری، نیازمند بررسی و مطالعه‌ی ویژگی‌های ژئومورفولوژی حوضه‌آبخیز است. هر چند استفاده از تحلیل‌های GIS ابزاری مهم در تجزیه و تحلیل‌های حوضه‌های آبخیز به شمار می‌رود، اما استخراج این ویژگی‌ها و برآورد شرایط فرسایشی حوضه، مستلزم صرف وقت و هزینه‌ی بالاست. این مسئله در کنار نبود داده‌ی مناسب برای استفاده از مدل‌های فیزیکی و فقدان ایستگاه آب‌سننجی کافی برای اعتبارسنجی مدل‌ها، مشکل را چندین برابر کرده‌است؛ از این رو، استفاده از شاخصی که برآورده مناسب از

وضعیت فرسایش‌پذیری منطقه داشته باشد، بسیار ضروری است. در سایر پژوهش‌های انجام شده در این زمینه طول حوضه، مساحت، طول آبراهه، نسبت انشعباب و فاکتور فرم حوضه، از شاخص‌های کلیدی در هیدرولوژی و فرسایش و رسوب به عنوان نمونه در حوضه‌های کوتا نیجریه عنوان شد (Paulinus et al, 2016)؛ اما در پژوهش حاضر شاخص نسبت انشعباب، نسبت طولی رودخانه و تراکم زهکشی، رابطه معنی‌داری را با شرایط فرسایشی حوضه‌آبخیز عقداً نشان نداد و سایر پارامترهای ژئومورفولوژیک چون مساحت، مجموع طول و تعداد آبراهه، مساحت فرسایش‌پذیر، زمان تمرکز و شبیح حوضه به عنوان پارامترهای تأثیرگذار مشخص شد (Shabani et al, 2007 & Shi et al, 2014).

بررسی‌های انجام شده بر پارامترهای ژئومورفولوژیک نشان داد که به کمک این پارامترها می‌توان میزان حساسیت حوضه‌ها به فرسایش را تعیین کرد (مکرمی و درویشی‌بلورانی، ۲۰۱۴؛ معتمدی و آذری، ۲۰۱۸). همچنین نتایج پژوهش‌های انجام شده در زمینه‌ی تحلیل فرآکتالی حوضه‌آبخیز نشان داد که بین بعد فرآکتال و عواملی مانند فرم حوضه، مساحت، نسبت انشعباب، تراکم زهکشی و نسبت طول آبراهه در حوضه‌ها، رابطه‌ی معنی‌داری وجود دارد (Khanbabaei et al, 2013؛ خسروی و همکاران، ۲۰۱۷؛ علمی‌زاده و همکاران، ۲۰۱۳؛ کرم و صابری، ۲۰۱۵). اما در میان پارامترهای ژئومورفولوژیک مورد بررسی، دو پارامتر نسبت انشعباب و نسبت طولی آبراهه با هیچ یک از پارامترها و بعدهای فرآکتال، رابطه‌ی معنی‌داری نداشت و پارامتر تراکم زهکشی تنها با پارامتر فراوانی آبراهه، همبستگی نشان داد. می‌توان گفت فقدان معنی‌داری سه پارامتر نسبت انشعباب، نسبت طولی رودخانه و تراکم زهکشی با بعد فرآکتال از رفتار شبکه‌زهکشی در منطقه‌ی مورد مطالعه سرچشمه می‌گیرد؛ علاوه بر این، این مسئله را باید در نظر داشت که لزوماً فرسایش‌پذیری بالا به تراکم زهکشی بالا منجر نمی‌شود؛ چون پارامترهای سنگ‌شناسی به همراه عوامل پوشش گیاهی، تکتونیک و پستی و بلندی در فرسایش نقش دارد. به عنوان مثال، در آبرفت‌های عهد حاضر اگر چه فرسایش‌پذیری بالاست، تراکم زهکشی در آنها بسیار زیاد نیست (زیرحوضه T4). به همین دلیل بهتر است در مطالعات بعدی، آبراهه‌های تکتونیکی و زمین‌ساخت از آبراهه‌های ناشی از فرسایش تفکیک شود؛ زیرا ممکن است در بعضی سازندهای مقاوم، تراکم زهکشی نسبتاً بالایی وجود داشته باشد، ولی این تراکم به فرسایش و حساسیت فرسایش‌پذیری مرتبط نباشد (جعفرزاده‌خطبیانی و همکاران، ۲۰۱۶). با توجه به گسترش سنگ‌های آذرین و رسوبی (آهکی و آذرین) با چین‌خوردگی و تکتونیک فراوان و گسل‌های متعدد در حوضه‌ی عقداء، بررسی این مسئله ضرورت می‌یابد. از انواع چین‌ها در منطقه‌ی مورد مطالعه می‌توان تنها به وجود ناویدیس واقع در کوههای شمال دقائیزها اشاره کرد که در سازند میلا قابل مشاهده است. از مهم‌ترین گسل‌های معکوس مشاهده شده در منطقه نیز می‌توان به رانده شدن دولومیت سلطانیه بر سنگ آهک عقدا در جنوب شرق حوضه و در مجاورت کوه مرغ زرد اشاره کرد. همچنین گسل‌های اصلی و فرعی نیز به وفور دیده می‌شود؛ از جمله گسل‌های موجود در زیر کوه و گسل‌های موجود بین واحدهای سازند لالون با آهک زبرکوه و گسل‌های موجود در سازند سلطانیه که هر یک ساز و کار متفاوت دارند. در نهایت، نتایج به دست آمده از پژوهش حاضر می‌تواند یافته‌های پژوهشی سایر محققان را تأیید کند که بعد فرآکتال شبکه‌زهکشی، پیچیدگی‌های شکل حوضه را به خوبی منعکس می‌سازد و می‌تواند شاخصی کمی برای تحلیل حوضه و مراحل تحول حوضه‌آبخیز باشد (علیمرادی و همکاران، ۲۰۱۸ & Guo et al, 2015 & Bass, 2002 & Hui and Changxing, 2017 & ۲۰۱۸). در واقع، بعد فرآکتال شاخصی است که می‌تواند حوضه‌های حساس و با اولویت بالا را با مدیریت زمان و هزینه در اختیار قرار دهد؛ به طوری که در مطالعات

بعدی بدون اندازه‌گیری ویژگی‌های ژئومورفولوژیکی از طریق بعد فراکتال، مناطق حساس به فرسایش و دارای اولویت بالا را مشخص کند تا راهکارهای لازم برای مدیریت صحیح منطقه اجرا شود. با پی بردن به رابطه‌ی دقیق میان ویژگی‌های ژئومورفولوژیک حوضه‌آبخیز با بعد فراکتال شبکه‌زهکشی، می‌توان سایر ویژگی‌های حوضه را با در اختیار داشتن بعد فراکتال پیش‌بینی کرد. نتایج حاصل از این بررسی، روابط معنی‌داری را بین ابعاد فراکتال حوضه و شبکه‌زهکشی با ویژگی‌های ژئومورفولوژیک نشان می‌دهد. بالاترین ضریب همبستگی متعلق به روابط رگرسیونی بین مجموع طول آبراهه، مساحت فرسایش‌پذیر و مساحت حوضه با بعد فراکتال شبکه‌زهکشی است و بعد فراکتال شکل حوضه نیز بالاترین همبستگی را با مجموع طول و تعداد آبراهه و مساحت حوضه نشان داد (در سطح ۰/۹۹). با بررسی ویژگی‌های ژئومورفولوژیک و مقایسه‌ی آن با بعد فرکتال شکل حوضه و شبکه‌زهکشی منطقه، وضعیت فرسایشی منطقه‌ی مورد مطالعه مشخص شد. با توجه به نتایج مشخص شد که واحدهای مستقل مربوط به واحدهای T1، T8 و T6 و در واحد ترکیبی TO3 دارای بیشترین فرسایش‌پذیری هستند. این نتایج می‌تواند در برنامه‌های کنترل رسوب و آبخیزداری استفاده شود و بر مبنای آن، راهکارهای لازم برای مدیریت منطقه ارائه شود. در واقع، پژوهش حاضر نشان داد که تحلیل ابعاد فراکتال می‌تواند به بررسی سریع و دقیقی از ویژگی‌های ژئومورفولوژیکی حوضه و شبکه‌زهکشی منجر شود. همچنین به دلیل شکننده بودن اکوسیستم در مناطق خشک، درک مناسب از وضعیت فرسایشی و ژئومورفولوژیکی حوضه‌آبخیز ابزاری مفید و کارآمد در مدیریت این مناطق است. به منظور بالا بردن کارایی بعد فراکتال در تعیین وضعیت فرسایشی و مدیریت حوضه، پیشنهاد می‌شود که در مطالعات بعدی آبراهه‌های تکتونیکی و زمین‌ساخت از آبراهه‌های ناشی از فرسایش تفکیک شود. همچنین برای بررسی وضعیت فرسایشی سازندها در حوضه‌هایی مثل منطقه‌ی مورد مطالعه با چین‌خوردگی و تکتونیک فراوان و گسل‌های متعدد، پیشنهاد می‌شود بعد فراکتال خطواره‌ها در کنار بعد فرکتال شبکه‌زهکشی نیز بررسی شود.

سپاس‌گزاری

مقاله‌ی حاضر بخشی از طرح پژوهشی دوره‌ی پسادکتری مصوب دانشگاه یزد است که نویسنده‌گان از معاون پژوهشی این دانشگاه به سبب حمایت‌های فراوانش سپاس‌گزاری می‌کنند.

منابع

1. Alimoradi, M.; Ekhtesasi, M. R.; Tazeh, M.; & H. Karimi, 2018. Calculation of Fractal Dimension of the Geological Formations and Their Relationship to the Formation Sensibility, *Physical Geography Research Quarterly*, 50 (2), 241- 253. (in Persian).
2. BAAS, A. C. W., 2002. Chaos, fractals and self-organization in coastal geomorphology: simulating dune landscapes in vegetated environments, *Geomorphology*, 48, 309 - 328.
3. Ben-Zion, Y., & C. G. Sammis., (2003). Characterization of fault zones. *Pure and Applied Geophysics*. 160 (3 - 4), 677 - 715 .
4. Dutta, S.; Ghosh, D.; & S. Chatterjee, 2014. Multifractal detrended fluctuation analysis of pseudorapidity and azimuthal distribution of pions emitted in high energy nuclear collisions, *Int. J. Mod. Phys*, A 29, 1450084.

5. ElmiZade, H.; Mahpeikar, O.; & M. Sadatmand, 2013. Investigate the theory of fractals in fluvial geomorphology:A Case Study Zarrinehroud, *Research of quantitative geomorphology*, 3 (2), 130 - 141. (in Persian).
6. Fac-Beneda, J., 2013. Fractal structure of the Kashubian hydrographic system, *Journal of Hydrology*, 488, 48 – 54.
7. Fattahi, M. H., & Z. Talebzadeh., (2017). The relationship between watershed compactness coefficient and the fractal characteristics. *Iran Water Resources Research*. 13 (1), 191 - 203. (in Persian).
8. Gloaguen, R.; Marpu, P.; & I. Niemeyer, 2007. Automatic extraction of faults and fractal analysis from remote sensing data, *Nonlinear Processes in Geophysics*, 14 (2), 131 – 138.
9. Gloaguen, R.; Kabner, A.; Wobbe, F.; Shahzad, F.; & A. Mahmood, 2008. Remote sensing analysis of crustal deformation using river networks, Paper presented at the Geoscience and Remote Sensing Symposium, 2008. IGARSS 2008. IEEE International.
10. Guo, Y.; Zhang, S.; & Z. Wang, 2015. Correlation between flood frequency and geomorphologic complexity of river network-A case study of Hangzhou China.
11. Horton, R. E., 1932. Drainage-basin characteristics, *Eos, transactions american geophysical union*, 13 (1), 350 - 361.
12. Horton, R. E., 1945. Erosional development of streams and their drainage basins; hydrophysical approach to quantitative morphology, *Geological society of America bulletin*, 56 (3), 275 - 370.
13. Hui, Y., & S. Changxing., (2017). The Fractal Characteristics of Drainage Networks and Erosion Evolution Stages of Ten Kongduis in the Upper Reaches of the Yellow River, China. *Journal of Resources and Ecology*. 8 (2), 165 – 174.
14. Ibanez, D. M.; de Miranda, F. P.; & C. Riccomini, 2014. Geomorphometric pattern recognition of SRTM data applied to the tectonic interpretation of the Amazonian landscape, *ISPRS Journal of Photogrammetry and Remote Sensing*, 87, 192 - 204 .
15. Jafarzadeh khatibani, k.; moeini, A.; & H. Ahmadi, 2016. Survey of relationship between soil and geology characteristics with drainage density (Case study: four watersheds in Ardeabil province), *Journal of Soil and Water Resources Conservation*, 6 (1), 99 - 108. (in Persian).
16. Karam, A., & M. Saberi., (2015). Calculating fractal dimension in drainage basins and its relationship with the characteristics of the basin. *Research of quantitative geomorphology*. 4 (3), 153 - 167. (in Persian).
17. Khanbabaei, Z.; Karam, A.; & G. Rostamizad, 2013. Studying Relationships between the Fractal Dimension of the Drainage Basins and Some of Their Geomorphological Characteristics, *International Journal of Geosciences*, 4, 636 .
18. Khosravi, A.; Sepehr, A.; & Z. Abdollahzadeh, 2017. Fractal Behavior and Its Relationship with Hydromorphometric Characteristics over Catchments of Binaloud Northern Hillslopes, *Scientific Journal Management System*, 3 (9), 1 - 20. (in Persian).
19. Kusák, M., 2014. IN THE STUDY OF COMPLEX GEOMORPHIC NETWORKS.
20. Mandelbrot, B. B., 1967. How long is the coast of Britain, *science*, 156 (3775), 636 - 638.
21. Mandelbrot, B. B., 1983. The fractal geometry of nature/Revised and enlarged edition, New York, WH Freeman and Co., 1983, 495 p., 1 .
22. Miller, V. C., 1953. Quantitative geomorphic study of drainage basin characteristics in the Clinch Mountain area, Virginia and Tennessee, Technical report (Columbia University. Department of Geology), 3.
23. Miralavi, A. S., 2009. Investigation of the Effects of Lithological Units in sediment production in Arid Areas (Case Study: Manshad Watershed). M.Sc. thesis, Yazd University.

24. Mohammadi Khashoui, M., 2016. Quantitative analysis of geomorphology patterns of the drainge networks and its fractal dimension on geological formations in arid areas (Case Study, Yazd- Ardakan Basin), Dissertation for Ph.D in watershed Management, Yazd University: faculty of Watershed Management.
25. Mokarram, M.; Darvishi, A.; & S. Negahban, 2017. The Relation between Morphometric Characteristics of Watersheds and Erodibility at different altitude levels using Topographic Position Index (TPI) Case Study: Nazloochaei Watershed, *Scientific- Research Quarterly of Geographical Data (SEPEHR)*, 26 (101). (in Persian).
26. Motamedi, R., & M. Azari., (2018). The Relationship between Geomorphic Characteristics and Watershed Sediment Yield: A Case of Selected Subwatersheds of Khorasan Razavi. *Quarterly Journal of Environmental Erosion Research*. 7 (4), 82 - 101. (in Persian).
27. Nikooyi, E.; Heydari, M.; Talebbeydokhti, N.; & A. A. Hekmatzadeh, 2008. Fractal geometry in river engineering: ideas, concepts and achievements, National Congress on Civil Engineering, 14-15 May, University of Tehran. (in Persian).
28. Paulinus, U. U.; Ifedilichukwu, N. G.; Ahamefula, A. C.; Iheanyichukwu, O. A.; Theophilus, E. T.; & I. G. Edet, 2016. Morphometric Analysis of Sub-watersheds in Oguta and Environs, Southeastern Nigeria Using GIS and Remote Sensing Data, *Journal of Geosciences*, 4 (2), 21- 28.
29. Schumm, S. A., 1956. Evolution of drainage systems and slopes in badlands at Perth Amboy, New Jersey, *Geological society of America bulletin*, 67 (5), 597 - 646.
30. Shabani, M.; Feiznia, s.; Ahmadi, H.; & J. Ghodosi, 2007. Investigation and determination of effective factors on sediment production and yield of drainage basins (Case Study: Taleghan Drainage Basin), *Journal of the Iranian Natural Resources*, 60 (3), 759 - 771. (in Persian).
31. Shahzad, F.; Mahmood, S.; & R. Gloaguen, 2010. Nonlinear analysis of drainage systems to examine surface deformation: an example from Potwar Plateau (Northern Pakistan), *Nonlinear Processes in Geophysics*, 17 (2), 137 - 147.
32. Sharma, S. K., & K. N. Tiwari., (2009). Bootstrap based artificial neural network (BANN) analysis for hierarchical prediction of monthly runoff in Upper Damodar Valley Catchment. *Journal of hydrology*. 374 (3), 209 - 222.
33. Shi, Z. H.; Huang, X. D.; Ai, L.; Fang, N. F.; & G. L. Wu, 2014. Quantitative analysis of factors controlling sediment yield in mountainous watersheds, *Geomorphology*, 226, 193 - 201.
34. Wong, T. S. W., (2005). Assessment of time of concentration formulas for overland flow, *Journal of Irrigation and Drainage Engineering*, 131 (4), 383 - 387.

Comparison of fractal dimension and geomorphologic characteristics in the management of Aqda Basin

Mojdeh Mohammadi¹: Postdoctoral Researcher in Watershed Management Engineering, Faculty of Natural Resources, Yazd University, Yazd

Mohammad Reza Ekhtesasi: Prof., Faculty of Natural Resources, Yazd University, Yazd

Article History (Received: 2019/05/05 Accepted: 2019/07/02)

Extended abstract

1- Introduction

Different natural phenomena have many variables that make it difficult to find relations among them using common mathematical methods. This problem, along with the impossibility of measuring all elements of nature, has led to a major evolution in the procedure of scrutinizing and explaining. In this way, we can use the fractal geometry with the theory that the order of many natural phenomena is chaotic. Fractal geometry is a quantitative tool for studying the geomorphology of drainage networks and modeling many complex natural phenomena. In fact, geophysical phenomena such as basins are fractal phenomena with fractal behavior. An understanding of geomorphologic characteristics and their performance over basins is very important in the watershed management. This paper focuses on the relationship between fractal dimensions of basin shape and drainage network with the geomorphologic characteristics of basin. Therefore, through an analysis of fractal dimensions and its comparison with geomorphologic characteristics, the fractal behavior of this basin is investigated.

2- Methodology

The present study consists of four main sections. The first section is the collection of maps and data. In this section, topographic maps at scale of 1:50000 and geological map at scale of 1:100000 from area were provided. Then, the required layers were extracted from them such as drainage networks and geological units. Sensitivity to erosion of formations was studied in this basin using PSIAC method. In order to investigate more precisely, the Aqda was divided into nine hydrological sub-basins (independent), five non-hydrological sub-basins (dependent) and four hybrid sub-basins. The second section, 18 geomorphologic characteristics were calculated for each sub-basin. In the third section of this study, fractal dimension of drainage networks and basin shape was calculated by box counting method using Fractalyse software in each sub-basin. The focus of the final section is on the relationship between fractal dimensions of basin shape and drainage network with the geomorphologic characteristics of basin.

3- Results

The results showed that the T8 and To3 sub-basins, respectively, with values of 1.47 and 1.60 have the highest fractal dimensions of the drainage network. Also, the highest fractal dimensions of the basin shape were obtained with values of 1.05 and 1.08, respectively, in the same sub-basins (T8 and To3). The results also indicated that there were significant relations among the fractal dimensions of the basin shape and the drainage network with geomorphologic characteristics. The highest correlation belongs to the regression relations between the total length of stream, basin area and erodible area with the fractal dimension of the drainage network (0.98, 0.97 and 0.95 respectively). Fractal dimension of the basin shape showed the highest correlation of 0.82 and 0.8 respectively with the number of networks and the total length of stream (significant at 99 percent level). Then, the erodible status in Aqda Basin was determined by studying the geomorphologic characteristics and comparing it with the fractal dimensions of the basin shape and the drainage network. The highest erodible status

¹ Corresponding Author: m.mohammadi@stu.yazd.ac.ir

is in T8, T1, T6 and TO3 sub-basins which should be considered in strategies to manage Aqda basin. In fact, this study showed that fractal dimensions allow a quick and accurate analysis of the geomorphologic characteristics of the basin and the drainage network.

4-Discussion & Conclusions

Identification, evaluation and prioritization of different areas can produce valuable information for the watershed comprehensive plans, soil conservation and mitigation of the erosion types based on amount of erosion and sedimentation. For this purpose, the geomorphologic characteristics should be investigated in basins. But extraction of these characteristics and estimation of the erodible status in basins are time-consuming and costly. Therefore, it is very necessary to use an index that has an appropriate estimation of the erodible status in basins. Fractal dimension, with time and cost management, can determine sensitive and high priority basins. With knowledge about the relationship between geomorphologic characteristics basins with fractal dimension, we can predict the other characteristics of basin. The results of this study indicated that there were significant relation between the geomorphic characteristics of sub-basins study and fractal dimension of the basin shape and the drainage network. Other researches on fractal dimension analysis have shown that there is a significant relation between fractal dimension and characteristics such as basin shape, area, branching ratio, drainage density and length ratio of drainage network. But in this study, two characteristics of branching ratio and length ratio of drainage network were not significantly correlated with any of the characteristics and fractal dimensions, and the drainage density was correlated only with frequency rank. Therefore, basins with high erosion will not always have high drainage density. For example, quaternary alluvial deposits have high erosion, but their drainage density is not very high (T4 sub-basin). For this reason, in the future studies, it is better to separate the tectonic streams from the erosion streams. Finally, the results of this study can confirm the findings of other researchers that fractal dimension of drainage network reflects the complexity of the basin shape and can be used as a quantitative index for basin analysis and evolution of the basin.

Key Words: Box Counting, Fractal Dimension, Geomorphologic characteristics, Watershed management.